

## О ПРИМЕНЕНИИ СВЕТОИНДУЦИРОВАННОГО ЭФФЕКТА МАРАНГОНИ ДЛЯ ЗАПИСИ ДИНАМИЧЕСКИХ ДИФРАКЦИОННЫХ РЕШЕТОК

С.А. Визнюк, А.Т. Суходольский

*Предложен способ получения периодического профиля свободной поверхности жидкости под действием двух интерферирующих лазерных пучков за счет массопереноса, обусловленного градиентом поверхностного натяжения. На основе совместного решения тепловой и гидродинамической задач рассчитана глубина модуляции и эффективность создаваемой таким образом фазовой решетки.*

Массоперенос жидкости вблизи поверхности, обусловленный градиентом поверхностного натяжения, описанный еще в прошлом веке [1], носит название эффекта Марангони. Новые возможности появляются при инициировании этого эффекта лазерным излучением [2]. Представляет интерес оценить возможности применения светоиндуцированного эффекта Марангони для получения стационарного профиля поверхности жидкости с заданной конфигурацией.

В данной работе предлагается использовать эффект Марангони для записи дифракционных решеток, и с этой целью исследуется профиль слоя жидкости на плоской подложке, возникающий под действием двух интерферирующих лазерных пучков. Рассмотрим слой поглощающей жидкости толщиной  $h_0$ , смачивающий горизонтально расположенную прозрачную подложку толщиной  $d$ . Слой нагревается двумя интерферирующими лазерными пучками, направленными под углами  $\theta$  к вертикали, при этом в системе координат с началом на границе раздела жидкость — подложка (ось  $z$  направлена вертикально) распределение интенсивности имеет вид:

$$I = I_0 [1 + \cos(2\pi x/l)], \quad (1)$$

где  $l = \lambda/2\sin\theta$ ,  $\lambda$  — длина волны.

Если плотность мощности лазерного излучения составляет  $\sim 1 - 100$  Вт/см<sup>2</sup>, то определяющим механизмом, отвечающим за формирование профиля поверхности, будет эффект Марангони, а влиянием испарительного давления, особенно при работе с малолетучими маслоподобными жидкостями, можно пренебречь [3].

Совместное решение тепловой и гидродинамической задач проведем в приближении малых чисел Пекле. При типичных значениях теплопроводности  $k \sim 0,5$  Вт/м·К, теплоемкости  $c_p \sim 2 \cdot 10^3$  Дж/кг·К, плотности  $\rho \sim 10^3$  кг/м<sup>3</sup> и  $l \sim 10^{-5}$  м, что соответствует решетке с 100 шт/мм и скорости  $v \sim 10^{-3}$  м/с [4], число Пекле  $Pe = (vl/k)\rho c_p \sim 10^{-2}$ . При этом можно пренебречь конвективной теплопроводностью, и в приближении капиллярной гидродинамики исходная система уравнений имеет вид:

$$k(\partial^2 T/\partial x^2 + \partial^2 T/\partial z^2) = -G, \quad (2)$$

$$\partial^2 T_p/\partial x^2 + \partial^2 T_p/\partial z^2 = 0, \quad (3)$$

$$\partial^2 v_x/\partial x^2 + \partial^2 v_x/\partial z^2 = (1/\eta)\partial p/\partial x, \quad (4)$$

$$\int_0^{h(x)} v_x dz = 0, \quad (5)$$

где  $G = (I_0/a)(1 + \cos \tilde{x})\exp(\frac{z-h}{a})$ ;  $\tilde{x} = 2\pi x/l$ ;  $T, T_p$  — температуры соответственно жидкости и подложки;  $\eta$  — динамическая вязкость;  $h(x)$  — искомый профиль поверхности;  $1/a = a$  — коэффициент поглощения.

Так как период решетки много меньше капиллярной постоянной /4/, то давление  $p$  в исходной системе уравнений считаем связанным только с кривизной поверхности:

$$p = p_0 - \sigma \partial^2 h / \partial x^2, \quad (6)$$

где  $\sigma$  — коэффициент поверхностного натяжения,  $p_0$  — внешнее давление. Исходные уравнения дополняются условиями на границах:

$$\kappa \partial T / \partial z|_{z=h} = \beta(T - T_c)|_{z=h}, \quad T|_{z=0} = T_p|_{z=0}, \quad (7)$$

$$\kappa \partial T / \partial z|_{z=0} = \kappa_p \partial T_p / \partial z|_{z=0}, \quad T_p|_{z=-d} = T_c,$$

$$\partial \sigma / \partial x|_{z=h} = \eta \partial v_x / \partial z|_{z=h}, \quad v_x|_{z=0} = 0, \quad (8)$$

где  $\sigma = \sigma_0[1 - \gamma(T - T_c)]$ ;  $\gamma = - (1/\sigma) \partial \sigma / \partial T$ ;  $T_c$  — температура внешней среды;  $\kappa_p$  — теплопроводность подложки;  $\beta$  — коэффициент теплопередачи.

Решение уравнений (2) и (3) с учетом (1) и (7) дает выражение для температурного поля:

$$T = T_0 + T_1(z) \cos \tilde{x}, \quad (9)$$

$$T_0 = T_c + k_1 d + \left( \frac{\kappa_p}{\kappa} k_1 + \frac{I_0}{\kappa} e^{-h/a} \right) z + \frac{I_0 a}{\kappa} e^{-h/a} (1 - e^{z/a}),$$

$$T_1 = A e^{-h/a} [e^{z/a} - \Phi_1(\tilde{z})] + Y_1 F_1(\tilde{z}),$$

$$k_1 = \frac{I_0 [1 - e^{-h/a} (1 - \beta a / \kappa + \beta h / \kappa) + \beta a / \kappa]}{\kappa_p + \beta d + \beta \kappa_p h / \kappa},$$

$$Y_1 = A [e^{-h/a} \left( \frac{\beta}{\kappa} \Phi_1(\tilde{h}) + \frac{2\pi}{l} \Phi_2(\tilde{h}) - \left( \frac{1}{a} - \frac{\beta}{\kappa} \right) / \left[ \frac{\beta}{\kappa} F_1(\tilde{h}) + \frac{2\pi}{l} F_2(\tilde{h}) \right] \right)],$$

$$\Phi_1(x) = \operatorname{ch} x + (1/\tilde{a}) \operatorname{sh} x, \quad \Phi_2(x) = \operatorname{sh} x + (1/\tilde{a}) \operatorname{ch} x,$$

$$F_1(x) = \operatorname{sh} \tilde{d} \operatorname{ch} x + (\kappa_p / \kappa) \operatorname{ch} \tilde{d} \operatorname{sh} x,$$

$$F_2(x) = \operatorname{sh} \tilde{d} \operatorname{sh} x + \frac{\kappa_p}{\kappa} \operatorname{ch} \tilde{d} \operatorname{ch} x,$$

$$A = (I_0 a / \kappa) (\tilde{a}^2 - 1)^{-1},$$

$$\tilde{d} = 2\pi d / l, \quad \tilde{a} = 2\pi a / l, \quad \tilde{h} = 2\pi h / l.$$

Предполагая в силу периодичности задачи, что

$$p = p_0 + \sum_{n=1}^{\infty} p_n \cos(n\tilde{x}), \quad h = h_0 + \sum_{n=1}^{\infty} h_n \cos(n\tilde{x}), \quad (10)$$

подставим (10) в уравнения (4) и (5) и, решая их с учетом (6), (8), (9), получим выражение для искомого профиля:  $h = h_0 + \Delta h \cos \tilde{x}$ , где глубина модуляции определяется выражением

$$\Delta h = -l^2 \gamma T_1(h) (ch\tilde{h} - 1) / 4\pi^2 h [ch\tilde{h} - (1/\tilde{h})sh\tilde{h}]. \quad (11)$$

Таким образом, в указанных приближениях профиль поверхности тонкого слоя жидкости имеет синусоидальную форму с глубиной модуляции, определяемой выражением (11). На рис. 1 представлены зависимости глубины модуляции от толщины слоя жидкости при различных величинах  $a$ , рассчитанные на основе соотношения (11). На рис. 2 представлена зависимость эффективности такой динамической решетки от теплопроводности подложки, рассчитанная по формуле Томлинсона для фазовой решетки с синусоидальным профилем /5/.

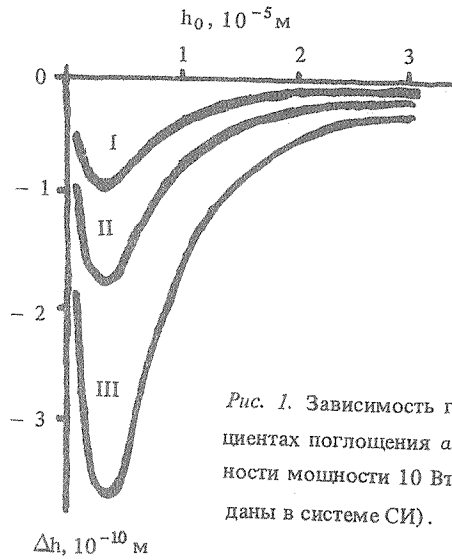
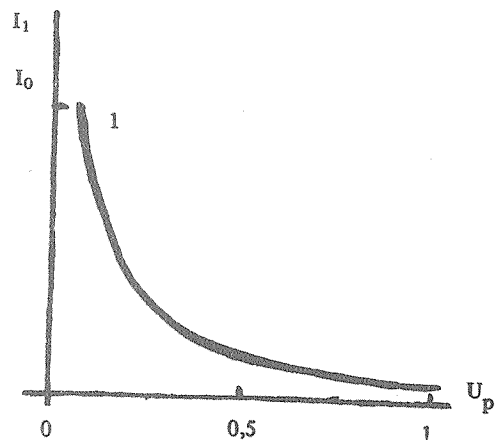


Рис. 1. Зависимость глубины модуляции  $\Delta h$  от толщины слоя жидкости при различных коэффициентах поглощения  $a = 10^3 \text{ см}^{-1}$  (1),  $0,4 \cdot 10^3 \text{ см}^{-1}$  (2) и  $0,25 \cdot 10^3 \text{ см}^{-1}$  (3), полученная при плотности мощности  $10 \text{ Вт/см}^2$  и  $\kappa = 0,3$ ;  $\kappa_p = 3$ ;  $\gamma = 0,005$ ;  $\beta = 5,6$ ;  $d = 0,005$ ;  $l = 10^{-5}$  (размерности даны в системе СИ).

Рис. 2. Зависимость эффективности решетки  $I_1/I_0$  от теплопроводности подложки при  $h_0 = 5 \cdot 10^{-7} \text{ м}$ ,  $a = 10^5 \text{ см}^{-1}$ ,  $\kappa = 0,1$  (другие параметры те же, что и на рис. 1).



Рассмотренный способ записи решеток можно предложить в качестве нового независимого метода измерения коэффициентов теплопроводности веществ. Таким образом, измеряя эффективность решетки на различных подложках, при фиксировании других параметров задачи, и пользуясь градуировочной кривой, пример которой приведен на рис. 2, можно измерить теплопроводность подложки.

#### ЛИТЕРАТУРА

1. Marangoni C. G. M. Ann. Phys., 143, 337 (1971).
2. Суходольский А. Т. Изв. АН СССР, сер. физ., 50, № 6, 1086 (1986).
3. Ахманов С. А. и др. УФН, 147, 675 (1985).
4. Ландау Л. Д., Лифшиц Е. М. Гидродинамика. М., Наука, 1986.
5. Tomlinson R., Weber D. JOSA, 63, № 6, 924 (1973).

Поступила в редакцию 8 июля 1986 г.